無筋コンクリート造布基礎の鋼板補強に関する実験的研究

横濱 茂之*

Experimental Study on Steel Plate Reinforced Concrete Footing

YOKOHAMA Shigeshi*

*建築構造・評価ユニット

§1 はじめに

既存木造住宅の無筋コンクリート造布基礎の補強 方法には、日本建築防災協会のRC造布基礎を増し打 ちする方法¹⁾ がある。しかし、この方法で建物内部の 布基礎を補強するには、1階床面を壊す必要があり現 実的ではない。一方、1階床面を壊さずに無筋コンク リート造布基礎を補強する一つの方法として、ねじ 込み式アンカーを用いて鋼板を布基礎に固定する方 法2が提案されている。この方法は、曲げひび割れ発 生と同時に最大耐力に達する脆性的な無筋コンクリ ート造布基礎の挙動を、曲げひび割れ発生後に一時 的な耐力低下はあるものの、設計で期待している終 局曲げ耐力まで向上させることが可能である。ただ、 現状のままでは、曲げひび割れ発生直後の荷重がほ ぼゼロとなる場合もあり上部構造への影響が懸念さ れる。この為、鋼板の躯体への固定方法として、ね じ込み式アンカーに加えて接着材を併用することで、 一時的な耐力低下の改善が可能か否か、及び、曲げ耐 力に接着材が関与するかを判断するために実大の 2/3 相当の試験体を製作して実験的な検証を行った。

§2 実験の概要

2.1 ねじ込み式アンカー単体のせん強度試験

鋼板の取り付けに使用したねじ込み式アンカーは図1の形状をしている。ドリルで直径 8.5mm の下穴を開け、アンカー挿入後にトルク40N・m以上で回転させて締め付け、コンクリートに雌ねじを形成させることで鋼板を固定するものである。試験体製作に用いたロットのねじ込み式アンカー12体に、図2に示す方法でせん断力を加えて、ねじ込み式アンカー単体のせん断強度試験を行った。せん断試験結果の平均値を表1示す。ねじ込み式アンカーの推定基準強

度Fから12T級の素材であることがわかる。

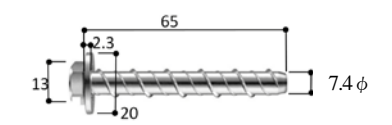


図1 ねじ込み式アンカーの形状寸法

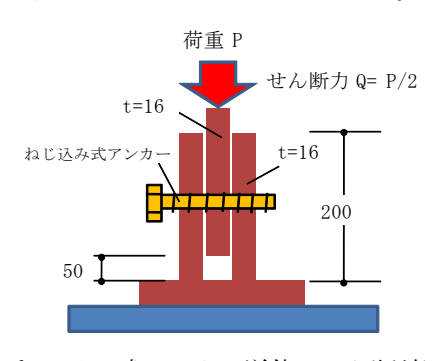


図2 ねじ込み式アンカー単体のせん断試験方法

表1 ねじ込み式アンカー単体のせん断試験結果

最大せん断力	軸部断面積	せん断応力度	推定基準強度
$_{\rm b}Q_{\rm max}$	a_b	τ max	F
(kN)	(mm^2)	(N/mm^2)	(N/mm^2)
41.1	42.9	956	1278

2.2 ねじ込み式アンカー固定時伝達せん力試験

ねじ込み式アンカーを躯体コンクリートに固定した場合の伝達せん断力の確認を図3の方法で行った。試験結果を図4に示す。図中の縦軸τωは、最大せん断力を軸部断面積ab(42.9mm²)で除した値である。■印が実験値であり、いずれも、ねじ込み式アンカーの破断ではなく、ねじ込み式アンカーの躯体内変形に伴う躯体コンリートの破壊で最大せん断力が決定されている。また、図4中には、同一の試験方法による直径10φ首下長さ75mmのねじ込み式アンカーの下限せん断強度推定式²)である式(1)も併記している。式(1)は、図1のねじ込み式アンカーを躯体コンクリ

ートに固定した場合の伝達せん断力の下限に位置している。

図5に引張力を受ける鋼板の伝達せん断力を示す。 ねじ込み式アンカーの伝達せん断力は、せん断面II では表 1 の値を、せん断 I では式(1)を適用できると して試験体を設計している。なお、試験体の設計で接 着材の伝達せん断力を無視したのは、後述するよう に、曲げモーメントが最大となる試験体中央部で曲 げひび割れ発生と同時に、躯体コンクリートから鋼 板が剥離しており、曲げ破壊面では接着材の関与が 無かったからである。

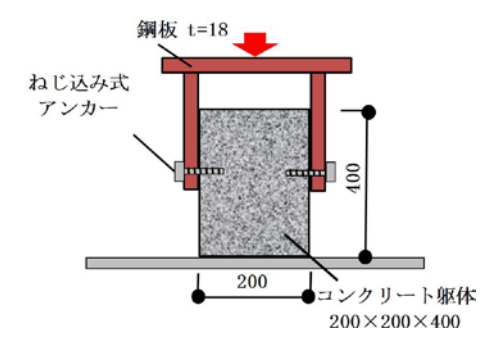


図3 躯体固定時伝達せん断力確認試験

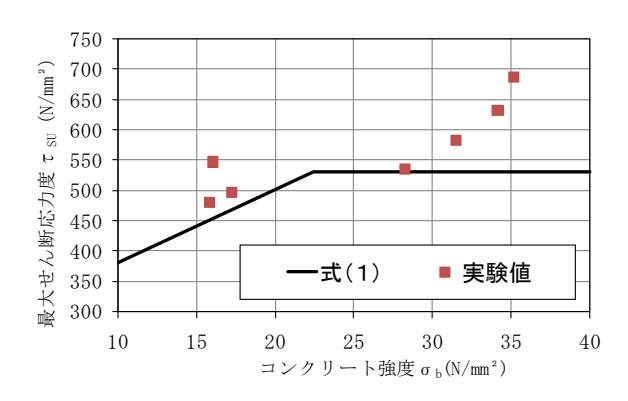


図4 躯体固定時伝達せん断力試験結果

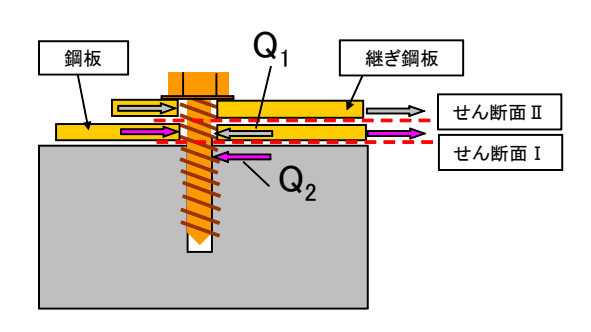


図5 せん断面と伝達せん断力

2.3 曲げせん断実験試験体

試験体一覧を表 2 に、試験体図を図 6 にそれぞれ示す。試験体全長 0/2600mm,全せい400mm,試験区間は2000mm,シアスパン比 M/QD=2.5 で全試験体共通である。

試験体RCは、一般の鉄筋コンクリート造布基礎を 2/3 倍にモデル化して寸法を定め、引張鉄筋比は、実際の建物でよく見られる基礎幅b=120mm、有効せい d=550mm、引張主筋断面積at=127mm²(1-D13)の場合を参考に約 0.2%とした。同様に、あばら筋比もよく見られる 1-D10@300 を参考に約 0.2%とした。試験体に使用した主筋D10 及びあばら筋 6ϕ の性質を表 3 に示す。試験方法はJIS Z2201 に準拠して求めた。試験体には、無筋コンクリートの試験体である。

一方、鋼板補強した試験体は、頭文字Sの試験体が 躯体コンクリートに鋼板をねじ込み式アンカーで、 頭文字SPの試験体が鋼板をねじ込み式アンカーと接着材で固定している。鋼板の種類は2種類で、試験体 名にIの記述があるものはPL-4.5×40(SS400)を、 試験体名にIIの記述があるものはPL-2.3× 80(SS400)を用いている(表2参照)。鋼板の継ぎ手位置はスパン中心部、継ぎ手方法は鋼板を重ねてねじ込み式アンカーで固定する方法とし接着材は塗布していない。使用した接着材は、「アラミド繊維片混入エポキシ樹脂系接着材」で塗布量は1000g/m²である。なお、下端の鋼板を試験体最下部から140mmの位置に配置したのは、フーチング上部に鋼板を配置した場合の寸法をモデル化したことによる。

表 2 試験体一覧表

試験体名	試験体の特徴	鋼板	接着剤	コンクリート 圧縮強度 σ _b (N/mm²)
R C	鉄筋コンクリート	_	ı	
С	無筋コンクリート	_	ı	
SI	無筋コンクリートに鋼板	鋼板 I : PL-4.5	無し	
	をアンカーのみで固定	×40 (SS400)		
SII	無筋コンクリートに鋼板	鋼板Ⅱ: PL-2.3	無し	28.5
	をアンカーのみで固定	× 8 0 (SS400)		
SPI	無筋コンクリートに鋼板をア	鋼板 I : PL-4.5	有り	
	ンカーと接着剤で固定	×40 (SS400)		
SPII	無筋コンクリートに鋼板をア	鋼板Ⅱ: PL-2.3	有り	
	ンカーと接着剤で固定	×80 (SS400)		

表3 鉄筋の性質

	降伏点 σ _y (N/mm²)	引張強さ σ _m (N/mm²)	ヤング係数 E _m (N/mm²)
D 1 0	361.7	490.0	2.27×10^{5}
6 φ	266.7	440.3	1.43×10^{5}

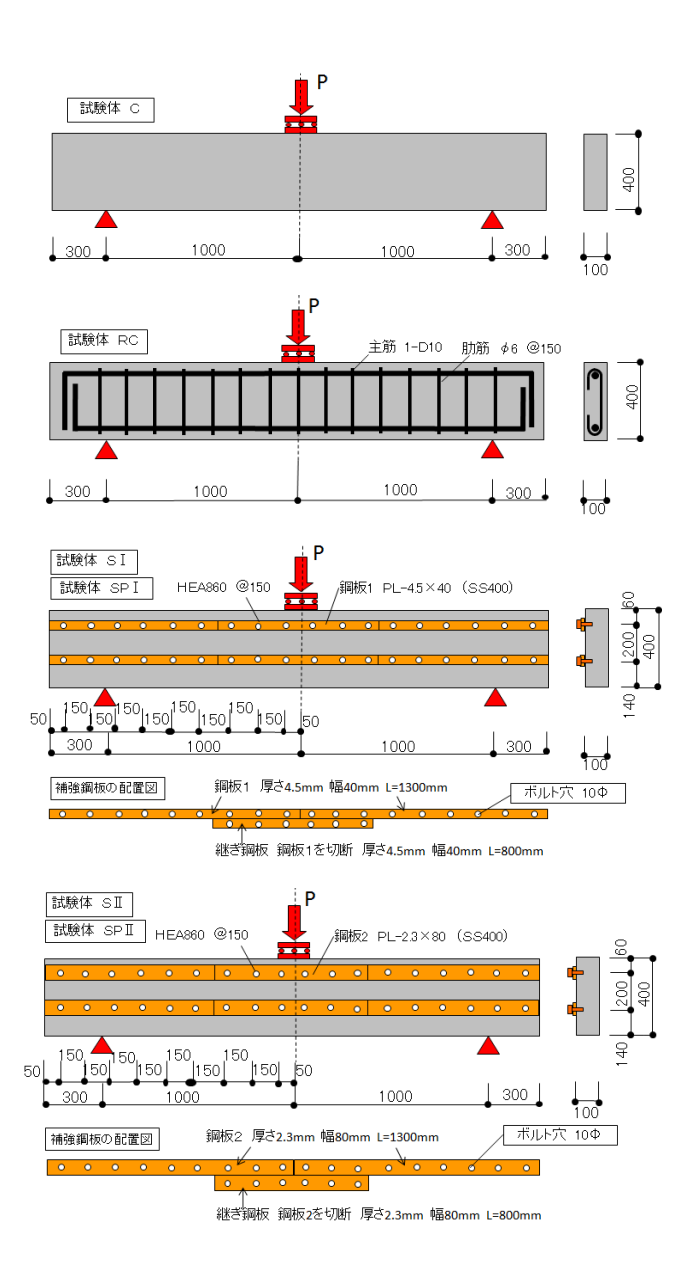


図6 試験体図

2.4 実験方法

試験体への加力方法を図7に示す。試験体への加力は、試験体中央に集中荷重を加える単純梁加力とした。単純梁加力を採用したのは、今回の実験の対象が地震時の曲げ耐力であり、せん断破壊を対象としていないことによる。

試験体への加力は、油圧ジャッキ(容量300kN)を用い、計測は、荷重はロードセル、変位は電気式変位計(精度1/100mm,動長100mm)を用いて歪ゲージのデータと共に、データロガーにて収録後パソコンにて処理した。

また,荷重の履歴は最も単純で試験体の特徴を把握しやすい一方向単調載荷として,試験体を破壊に

至らしめた。

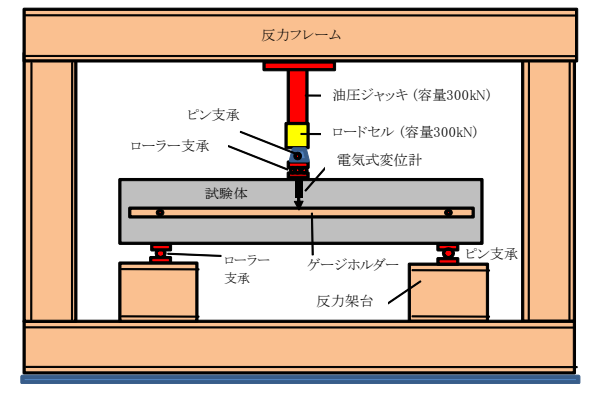


図7 加力方法図

2.5 曲げせん断実験結果

試験結果一覧を表4に示す。試験体の最終破壊状況を図8に、荷重一変位特性を図9及び図10にそれぞれ示す。なお、試験体SIIの変位は、実験時に変位計を固定したボルトをひび割れが横切って開口したため、変位計が回転して正確な値を測定できていないため参考値である。

無筋コンクリートの試験体 C は、曲げひひ割れ発生と同時に最大荷重に達した。鉄筋コンクリートの試験体 RC は、曲げひび割れ発生後に引張主筋が降伏し曲げ圧縮域のコンクリートが圧壊して最大荷重に到った。

鋼板で無筋コンクリートを補強した試験体は、曲 げひび割れ発生後に試験体中央下端に配置した継ぎ 鋼板が引張降伏し、上端の継ぎ鋼板が座屈後に曲げ 圧縮域のコンクリートが圧壊して最大荷重に到った。 表4より、鋼板補強を行った試験体は、固定方法にか かわらず,無筋コンクリート試験体Cより、曲げひび 割れ発生荷重及び最大荷重ともに大きくなっており 補強効果が認められた。また、鋼板補強を行った試 験体の最大荷重を比較すると、試験体SI < 試験体SP I,試験体SⅡ<試験体SPⅡの関係が成立しており接 着材の効果が認められる。なお、試験体SP I とSPⅡ は、曲げモーメントが最大となる試験体中央部で、曲 げひび割れ発生と同時に, 鋼板が躯体コンクリート から剥離しており、曲げ破壊面で接着材の影響はな いと考えられる。鋼板補強を行った試験体の挙動の 特徴を図11に示す。図11の応力再分配顕著領域は、

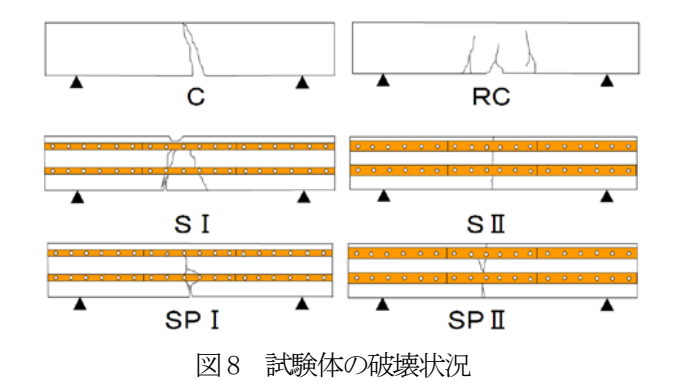
曲げひび割れの進展と開口に伴い引張側鋼板が再び 有効となるまでに進行する塑性化の領域であり、引 張鉄筋比の少ない一般のRC造単筋梁でも認められる。 この領域が顕著に表れるのが無筋コンクリートを鋼 板で補強した場合の特徴である。今,図11のP_{RC2}/P_{RC} を曲げひび割れ発生直後の耐力比αと定義し、図9及 び図 10 より α を算定すると, 試験体S I が 0.26, 試 験体SⅡが 0.14, 試験体SPⅠが 0.45, 試験体SPⅡが 0.74 である。αは補強前の試験体Cではゼロなので鋼 板補強の効果は認められ、ねじ込み式アンカーに加 えて接着材を併用した頭記号SPの試験体で顕著と言 える。

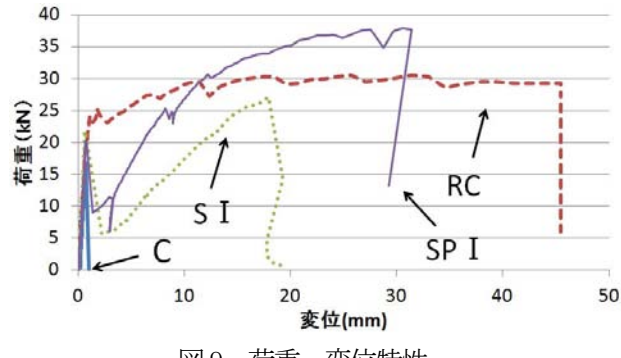
ところで, 試験体 SP I の鋼板は PL-4.5×40, 試験 体 SP II の鋼板は PL-2.3×80 で断面積はほぼ等しい (表 2 参照)。従って、鋼板を鉄筋と同様に引張力、 或いは、圧縮力を負担するだけの役割と考えるとα に差は無いはずであるが、試験体SPIが0.45、試験 体SPⅡが0.74で、試験体SPIを1に取ると、試験体 SPI:試験体 SPII=1:1.6 である。一方,鋼板の幅 の寸法比は、試験体SP I: 試験体SP II = 1:2 で α の比 と近い値となっており、接着材の影響を示唆してい る。従って、接着材の併用を前提とすると、鋼板の 板厚を厚くして幅を狭くするよりも、板厚を薄くし て幅を広くする方がαを大きくする上で有利と考え られる。

表 4 試験結果一覧表

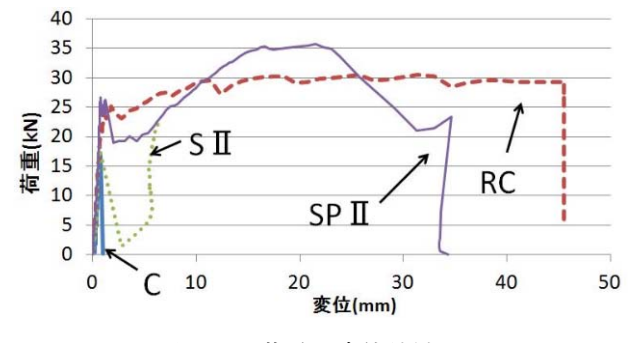
ひい割れ	発生時	東		
荷重PBC	変位δΒC	荷重Pmax	変位δ _{max}	破壊経過
(kN)	(mm)	(kN)	(mm)	
23. 7	1.08	30.57	31.41	$BC \rightarrow SBY \rightarrow CC$
16.82	0.75	16.82	0.75	BC
20. 19	0.63	27.06	17.95	$BC \rightarrow SY \rightarrow CC$
18. 43	0.62	22.09	8. 19	$BC \rightarrow SY \rightarrow CC$
19.89	0.56	37.88	30.53	$BC \rightarrow SY \rightarrow CC$
25.89	0.71	35. 69	21.51	$BC \rightarrow SY \rightarrow CC$
	荷重P _{BC} (kN) 23.7 16.82 20.19 18.43 19.89	(k N) (mm) 23.7 1.08 16.82 0.75 20.19 0.63 18.43 0.62 19.89 0.56	荷重 P_{BC} 変位 $δ_{BC}$ 荷重 P_{max} (k N)	荷重P $_{\rm BC}$ 変位 δ $_{\rm BC}$ 荷重P $_{\rm max}$ 変位 δ $_{\rm max}$ δ

BC:曲げひび割れ SBY:主筋降伏 SY:鋼板降伏 CC:圧縮域コンクリートの圧縮破壊





荷重一変位特性 図 9



荷重一変位特性 図 10

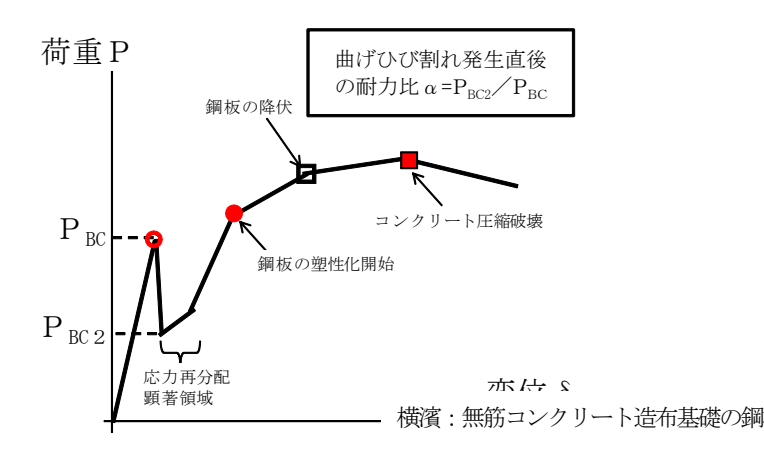


図11 鋼板補強試験体の特徴と耐力比αの定義

2.6 曲げせん断実験最大荷重の検討

本実験では、全ての試験体が曲げせん断ひび割れ の発生もないまま、曲げ破壊で最大荷重に達した。こ の為、ここでは、最大荷重と曲げ理論値との比較検 討のみを実施した。

試験体RCの最大荷重理論値は式(2)から求めた。式 (2)のカッコ内は、慣用の曲げ耐力式³⁾の降伏点σyを 引張強さσ₁₁に書替えた。式(2)から式(4)の 4/Leは, 単純梁加力時のモーメントを荷重に変換する処置で ある。式(2)で引張強さ σ_{\parallel} を採用したのは、鉄筋コン クリート構造計算規準 の最小引張鉄筋比 0.4%以下 の梁部材では主筋の破断が見られ、試験体RCの引張 鉄筋比は0.2%であることによる。

試験体 C の最大荷重理論値は式(3)から求めた。式 (3)のカッコ内は、慣用の曲げひび割れ耐力式である。 無筋コンクリートを鋼板補強した場合の最大荷重 理論値Pmvmは、図12のモーメントと鋼板軸力の関係 が成立するとして、次の仮定を設けた。

仮定 1:鋼板又は継ぎ鋼板の引張降伏による曲げ破壊 時の最大荷重Puは, 釣合い鉄筋比以下のRC梁 と同じく式(4)の適用が可能と仮定した。式 (4) 中のカッコ内はRC部材の慣用曲げ耐力 式3)であり、4/Leは、モーメントを荷重に変 換する処置である。

仮定 2:ねじ込み式アンカーがコンクリートと鋼板間 で破壊する時の最大荷重Pupは式(5)の適用が 可能と仮定した。式(5)は、ねじ込み式アンカ ーがコンクリートと鋼板間で破壊する時の せん断耐力を,式(1)から求めた τ_{SI}とアンカ 一断面積の積abから求め、図 12 に示すMiとM2 の差を応力中心間距離iで除して求めた値よ り大きいことが確認されれば破壊は起きな いとして仮定して誘導した。

仮定 3:ねじ込み式アンカーが鋼板と継ぎ鋼板間で破 壊する時の最大荷重Pugは式(6)の適用が可能 と仮定した。式(6)は、アンカーが鋼板と継ぎ 鋼板間で破断する時のせん断耐力_bQ_{max}を表 1 から求め、図13の鋼板軸力とボルトのせん断 力の関係²⁾から求めた_BQ_{A1}より_bQ_{max}が大きけれ ば破断しないと仮定して誘導した。

仮定 4:各破壊モードの最低破壊荷重が最大荷重とな り,式(7)の適用が可能と仮定した。

図12は、試験体SI及びSⅡのように曲げ耐力時 の鋼板の引張力が、ねじ込み式アンカーのみで躯体 コンクリートへ伝達すると考えた時に成立する。接 着材がある試験体SPI及びSPIIでは、曲げモーメン トが最大となる試験体中央部では、曲げひび割れ発 生と同時に躯体コンクリートから鋼板が剥離して継 ぎ鋼板のみで引張力を伝達していることから、試験 体中央部の曲げ破壊面では成立していると考えざる を得ない。

ここで、a₊:引張鉄筋(下端主筋)の断面積, σ₁₁:主筋の引張強さ, d: 有効せい,Le:試験区間長, σ_b :コンクリートの圧縮強度, Z: 断面係数, a_e : 鋼板の有効断面積, σ_y : 鋼板の降伏点, τ_{SU} : アンカーのコンクリート固定時最大せん断耐力, a₄:ねじ込 み式アンカーの軸部の断面積, j:応力中心間距離(7d/8), L」及びL。: 支点からねじ込みアンカーまでの長さ(図11参照),

Quantary : アンカー単体のせん断耐力

 $P_{\text{max} \neq \text{1}} = \min(P_{\text{U1}}, P_{\text{U2}}, P_{\text{U3}})$

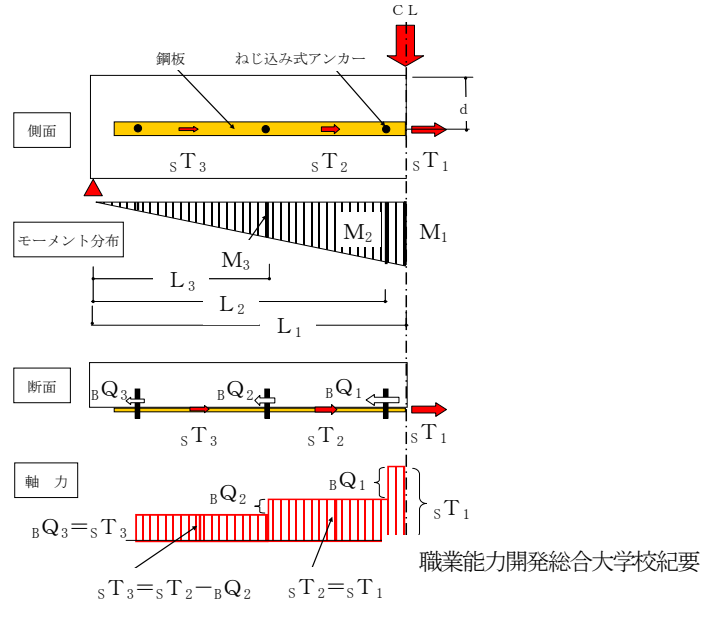


図12 曲げモーメントと鋼板の軸力

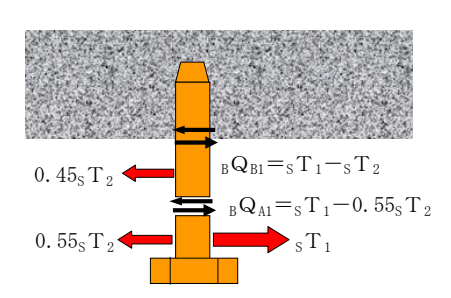


図13 鋼板の軸力とボルトのせん断力2)

前述の仮定に基づいて算定した、理論値と実験値 の比較を表5に示す。

表5には、曲げひび割れ発生以前は、鉄筋又は鋼 板が一体として機能することが期待できる試験体 RC, 試験体 SP I 及び SP II では、鋼板を考慮した断面係数 Ze を用い、他の試験体ではコンクリート断面のみの断面係数 Z から求めた曲げひび割れ発生荷重の理論値と実験値の比較も示している。表 5 によれば、曲げひび割れ発生荷重が危険側となる試験体は無い。

表5によれば、最大荷重については、コンクリー トと鋼板間に接着材が無いために、試験体中央部で 一体性が期待できない試験体 SIと SIIより、接着材 によって破壊面を除く試験体中央部で一体性が確保 されている試験体SPIとSPⅢの方が理論値に対する 安全率が高い。理論値算定で考慮していない接着材 の効果と考えられる。また、試験体SⅡの実験値が理 論値を下回っており、鋼板とコンクリート間に接着 材を用いることは、理論値の算定に用いた一連の算 定式適用の観点から不可欠と考えられる。なお、表5 の理論値から,鋼板で補強した試験体は,曲げひび割 れ発生後に鋼板の降伏で最大荷重に到ることがわか る。この事は、実験結果と一致する。しかし、接着材 を併用した試験体SPIとSPⅡの実験値とは隔たりが 認められる。予測精度を向上させるには、何らかの 方法で接着材の効果を取り入れる必要がある。

表 5 理論値と実験値の比較

	曲げひび割れ発生時		最大荷重時						
	P_{max}	P_{max}	実/理	P_{U1}	P_{U2}	P_{U3}	P_{max}	P_{max}	実/理
	(kN)	(kN)		(kN)	(kN)	(kN)	(kN)	(kN)	
RС	17.9	23.7	1.32	ı	ı	ı	22. 5	30. 57	1.36
С	15.9	16.82	1.05	ı	ı	ı	15.9	16.82	1.05
SI	15.9	20.19	1.27	25. 9	237.0	39. 2	25. 9	27.06	1.04
SII	15.9	18.43	1. 16	29.0	237.0	39. 2	29.0	22.09	0.76
SPI	16.9	19.89	1. 18	25. 9	237.0	39. 2	25. 9	37. 88	1.46
SPII	17.0	25.89	1.52	29.0	237.0	39. 2	29.0	35. 69	1.23

試験体解体時に、試験体 SP II を目視観察して、鋼板が躯体コンクリートから剥離している範囲を描いたのが図 14 である。試験体の曲げひび割れは、鋼板間で生じており、剥離の範囲は、下端の鋼板ではひび割れから両側 50mm 程度、上端の鋼板では圧壊したコンクリートの領域と同じであった。従って、破壊面では直接的に接着材は関与していない。この為、継ぎ鋼板の引張拘束(引張力負担)が問題となると考えられるが、試験体 SP I 及び SP II の継ぎ鋼板の断面積がほぼ同じであることから、破壊面の継ぎ鋼板の引張拘束のみで接着材を併用した試験体の実験値と理論値の

隔たりを説明できない。材軸方向の鋼材全体の引張 変形の考慮,或は,鋼板を鉄筋としてではなく曲げ補 強材として取り扱う必要等があると考えられる。今 後の課題である。

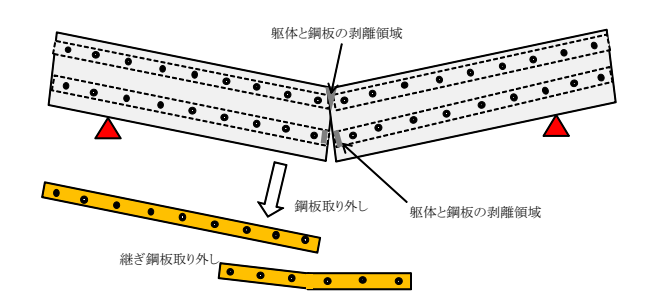


図14 鋼板の躯体コンクリートからの剥離

§ 3 結論

無筋コンクリート造布基礎に、鋼板をねじ込み式 アンカーと接着材で固定する補強方法を意図とした 模型実験を行い次の結論を得た。

- ・ 曲げひび割れ発生直後の耐力比 α (図 11 参照)は、 ねじ込み式アンカーのみの場合には $0.14\sim0.26$ であったが、接着材を併用した場合には $0.45\sim$ 0.74まで改善が認められた。
- ・ 最大荷重(曲げ耐力)は、接着材を併用することで 向上しており、接着材の関与が認められる。
- ・ ねじ込み式アンカーと接着材を併用した場合の 最大荷重(曲げ耐力)は,式(4)から式(7)で安全側 に推定可能であるが,隔たりが認められる。予測 精度向上のためには,接着材の効果を取り入れる 方法を開発する必要がある。
- ・ 曲げひび割れ発生荷重は、鋼板を鉄筋として取り 扱った式(3)で安全側に評価された。

【参考文献】

- 日本建築防災協会:木造住宅の耐震精密診断と補強方法,日本建築防災協会,1996.1,pp.35
- 2) 替亮太郎, 横濱大吾, 横浜茂之: 鋼板補強無筋コン クリート布基礎の破壊性状に関する実験的研究, コ ンクリート工学年次論文集, Vol. 33, pp. 65-72
- 日本建築学会:建築耐震設計における保有耐力と変形性能,1990.10,pp.390
- 4) 日本建築学会: 鉄筋コンクリート構造計算規準・ 同解説, 2010. 2, pp. 73